

N-97 アスファルト混合物のクリープについて

九州大学工学部 正員 内田一郎
九州大学工学部 学員・針貝武紀

まえがき

沥青舗装の弱点の一つとして、交通荷重による塑性変形が考えられる。

これは現今の交通事情を思えば非常に重大な問題であろう。この塑性変形は主として骨材としての沥青材の粘弾性に原因する。沥青材の粘弾性は、かなり研究されてゐるようであるが、ニニでは骨材と混合して成形されたアスファルト混合物に単純圧縮力（一定静荷重）を与えた場合のセグミ、すなわちクリープがどのようなものであるかを実験的に調べてみる。

実験方法 実験方法は次のようである。

マーシャル試験に準じた方法で供試体を作製し、24時間室内養生後、クリープ試験を行ふ。

試験に用いた材料及びその性質を表-1に示す。

供試体は直径5cm、高さ10cmの円筒形である。

骨材は120°Cで灼乾燥したものと、アスファルトは140°Cに

表-1

材料名	比重	備考
骨材2.5-0.6mm粒大構内砂	2.62	
骨材0.6-0.074mm "	2.64	
フィラー、石灰石粉	2.72	C _a =45
アスファルト、ストレートアスファルト	1.018	塗入量86

加熱したものを混合しマーシャル試験の圧縮装置を用いて供試体を成形している。

变量としては、骨材100%に対するアスファルト量を、

7~15%，全骨材中のフィラーラー量を、10~50% (図-1参照)

供試体成形における圧縮荷重（静荷重）700~3500kg

試験温度0~45°Cの4つで、クリープ試験に用いた荷

重は、クリープ破壊荷重前後の1.14kg/cm²である。

実験結果と考察

1) 一般にクリープ曲線は図-2のようになる。

実験の観察によれば、ある温度以上では瞬間弾性は存在しない。10°C以下になると弱い瞬間弾性が存在するようである。今、瞬間弾性の存在しない、25°Cにおけるクリ

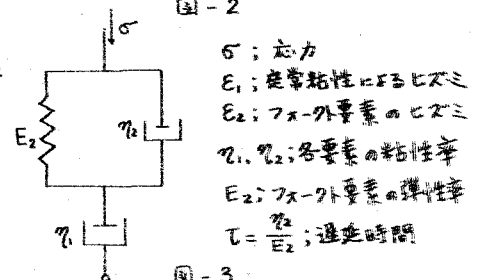
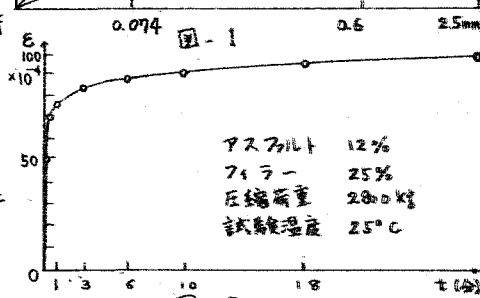
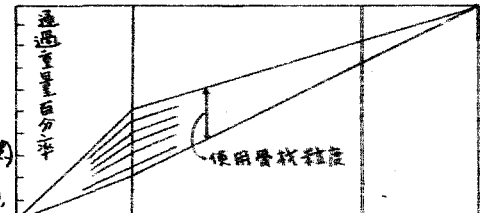
ープ曲線を考へる。これを不完全バーガース体と考えて

、図-3のような三要素模型を考えレオロジー方程式を作れば、

$$\sigma = \eta_1 \frac{dE_1}{dt} + \left\{ \sigma = E_2 E_2 + \eta_2 \frac{dE_2}{dt} \right\} \quad \dots \dots (1)$$

$\sigma = \text{const.}$ のとき両式を積分して合成すれば、

$$E = E_1 + E_2 = \frac{\sigma}{E_2} \left(1 - e^{-\frac{t}{T}} \right) + \frac{\sigma}{\eta_1} t \quad \dots \dots (2)$$



σ : 応力
 E_1 : 瞬間弾性係数 (ビズミ)
 E_2 : フィラーラー要素のビズミ
 η_1, η_2 : 各要素の粘性率
 E_2 : フィラーラー要素の弾性率
 $T = \frac{\eta_2}{E_2}$: 退却時間

図-3

$$\lim_{t \rightarrow \infty} E = \frac{\sigma}{E_2} + \frac{\sigma}{\eta_1} t \quad \dots \quad (3)$$

(3)式は、クリープ曲線の直線部を表し、その傾きより η_1 を、 $t=0$ における切片より遅延弾性率 E_2 を求め得る。次にマート要素のみを取り出して考えると、

$$E_2 = \frac{\sigma}{E_2} \left(1 - e^{-\frac{t}{\tau}}\right), \text{つまり}, \frac{\sigma}{E_2} - E_2 = \frac{\sigma}{E_2} e^{-\frac{t}{\tau}}$$

両辺の常用対数をとれば、 $\log\left(\frac{\sigma}{E_2} - E_2\right) = \log\frac{\sigma}{E_2} - \frac{t}{\tau} \log e$

$$\dots \quad (4)$$

従って(4)式の関係が成立すれば、その傾きを $\tan \theta$ として、 $\tan \theta = -\frac{\log e}{\tau}$ より、 $\tau \cdot E_2 = \eta_2 = -\log e \cdot \cot \theta \cdot E_2$ のように η_2 が求まる。図-3の関係が成立するとすれば以上のようであるが、実際に図-2のクリープ曲線より(4)式の操作を行えば、図-4となる。載荷初期はその傾きが極めて大きいが徐々に減少する時間後は一定となる。逆に $(\frac{\sigma}{E_2} - E_2)$ を $\log t$ に対してプロットすれば、

図-5のようになり、図-4における傾きの急変する部分が、 $\frac{\sigma}{E_2} - E_2 = A \log t + \frac{\sigma}{E_2}$ 、つまり $E_2 = A \log t + C$ $\dots \quad (5)$
A: const. なる直線上にある。

ii)(5)式の現象は、圧縮中に状態が時間とともに変化しつゝあることを推察させ、具体的に粘弹性係数を求めるのは無理と思われるが、図-2の直線部より η_1 、図-4の直線部を延長して $(\frac{\sigma}{E_2} - E_2)$ 軸との交点をあらためて $\frac{\sigma}{E_2}$ として η_2 、 E_2 を求めてみるとそのオーダーは 25°C を標準として、 $\eta_1: 10^6 \sim 10^7 \text{ poise}$, $\eta_2: 10^6 \sim 10^7 \text{ poise}$, $E_2: 10^8 \sim 10^9 \text{ dyne/cm}^2$ である。

iii)図-6～図-8は各变量による相違を端的に示すと試みたものである。

図-6においてはフィラーラー量25%，試験温度 25°C 、図-7においてはアスファルト量12%，試験温度 25°C 、図-8においてはアスファルト量12%，フィラーラー量25%，圧縮荷重はすべて2100Kgである。これによればアスファルト量、フィラーラー量が少ない方が明白な直線部が、又温度をかえた場合は傾きに相違を生ずることが認められる。

iv)アスファルト量及びフィラーラー量に関しては、クリープを最小ならしめる最適の混合割合が存在するようである。

v)供試体成形時の圧縮力をクリープに影響を与えるが2000Kg以上加えても、供試体の構造はあまり変わらないとの影響は小さくなる。

vi)(5)式の関係は、その初期における室干きの圧縮強度、及び室干きへの粒子の転移によるヒズミが支配的であることに答ると思われる。

Eyringの空孔仮説を応用すればこの現象を巧く説明出来るかも知れない。

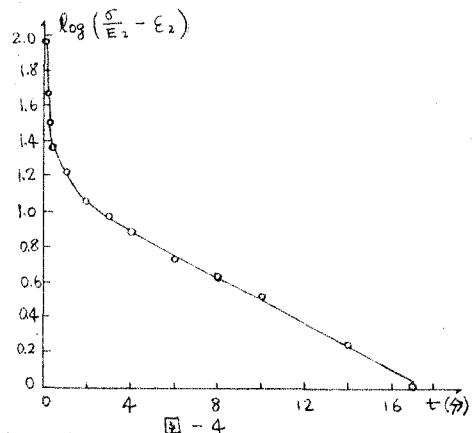


図-4

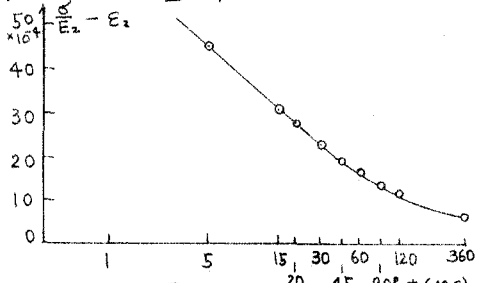


図-5

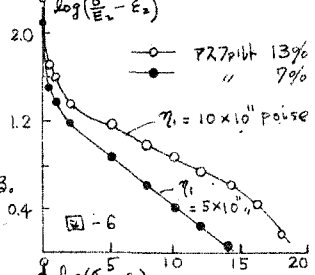


図-6

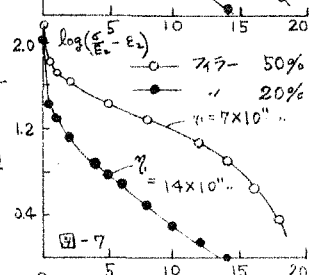


図-7

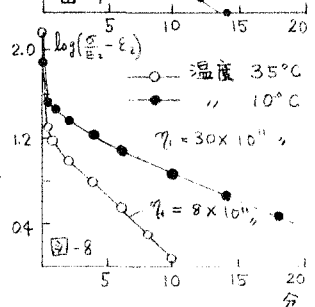


図-8